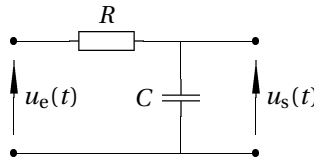


# TP n° 11

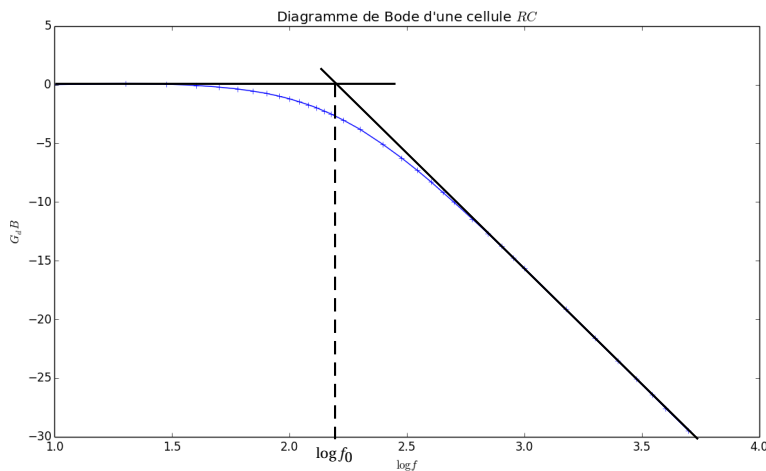
# Autour des cellules RC — solution

## 1 — Cellule RC unique

### 1. Diagramme de Bode en gain de la cellule



On mesure les amplitudes<sup>1</sup>  $U_s$  et  $U_e$  pour différentes valeurs de  $f$ , et on représente  $G_{dB} = 20 \log \frac{U_s}{U_e}$  en fonction de  $\log f$ .



### 2. La structure est en pont diviseur de tension :

$$\underline{H}_1(j\omega) = \frac{\underline{Z}_C}{\underline{Z}_C + R} = \frac{1}{1 + R\underline{Y}_C}.$$

Avec  $\underline{Y}_C = \frac{1}{jC\omega}$  on obtient  $\underline{H}_1(j\omega) = \frac{1}{1 + jRC\omega}$ .

On a donc

$$\underline{H}_1(j\omega) = \frac{H_0}{1 + j\frac{\omega}{\omega_0}} \quad \text{avec} \quad H_0 = 1 \quad \text{et} \quad \omega_0 = \frac{1}{RC}.$$

### 3. Traçons les asymptotes sur le diagramme de Bode expérimental.

L'asymptote en basses fréquences vaut  $G_{dB,0} = 20 \log H_0 = 0$ , d'où  $H_{0,exp} = 0$ , valeur conforme à la théorie.

L'intersection des asymptotes se fait pour  $\log f_0 = 2,2$ , d'où  $f_{0,exp} = 160 \text{ Hz}$ .

Avec  $R = 10 \text{ k}\Omega$  et  $C = 100 \text{ nF}$ , on obtient  $f_0 = 160 \text{ Hz}$ ; l'expérience est en accord avec les prévisions théoriques.

4. Avec  $u_e(t) = U_e \cos(\omega t)$ , on peut écrire  $u_s = U_s \cos(\omega t - \varphi)$  où le retard de phase de  $u_s(t)$  par rapport à  $u_e(t)$  est donné par  $\tan \varphi = RC\omega$ .

Dans le cas où  $RC\omega \ll 1$ , la linéarisation de  $\tan \varphi$  conduit à  $\varphi = RC\omega = 2\pi RCf$ , d'où

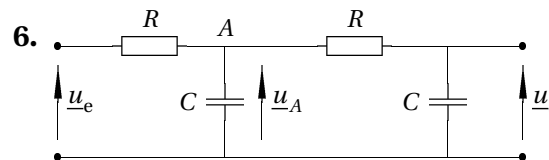
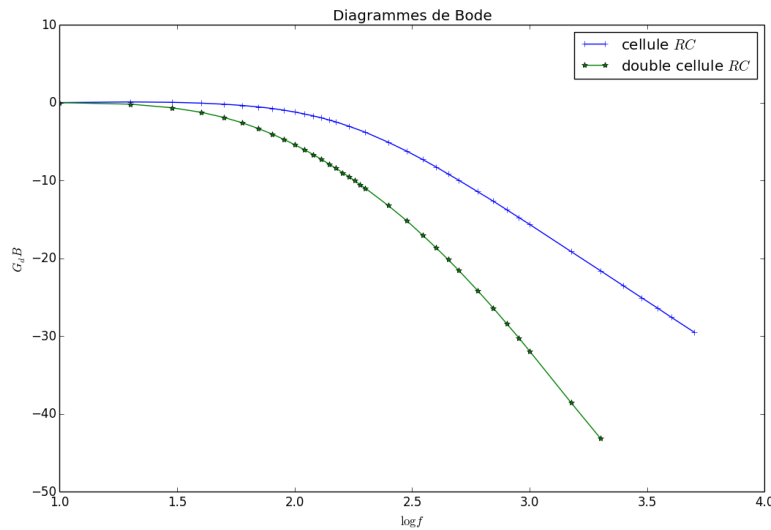
$$u_s(t) = U_s \cos(2\pi f t - 2\pi RCf) = U_s \cos[2\pi f(t - \tau)] \quad \text{avec} \quad \tau = RC.$$

Le retard de temporel  $\tau$  est alors indépendant de la fréquence.

1. ou les valeurs efficaces  $\frac{U}{\sqrt{2}}$  au multimètre

## 2 — Double cellule RC

5. On trace le diagramme de Bode de la double cellule, sur le même diagramme.



Écrivons la loi des nœuds en terme de potentiels au point A :

$$\frac{u_A - u_e}{R} + \frac{u_A - u_s}{R} + jC\omega u_A = 0,$$

d'où

$$(2 + jRC\omega)u_A = u_e + u_s.$$

La tension  $u_s$  s'exprime à l'aide de  $u_A$  par un pont diviseur de tension (le circuit est en sortie ouverte) :

$$u_s = \frac{1}{1 + jRC\omega} u_A.$$

En éliminant  $u_A$ , on obtient

$$u_e + u_s = (2 + jRC\omega)(1 + jRC\omega)u_s = [2 + 3jRC\omega - (RC\omega)^2]u_s.$$

La fonction de transfert  $\underline{H}_2(j\omega) = \underline{u}_s / \underline{u}_e$  est donc donnée par

$$\underline{H}_2(j\omega) = \frac{1}{1 + 3jRC\omega - (RC\omega)^2}.$$

Elle est bien de la forme

$$\underline{H}_2(j\omega) = \frac{H_0}{1 + \frac{j}{Q} \frac{\omega}{\omega_0} - \frac{\omega^2}{\omega_0^2}} \quad \text{avec} \quad H_0 = 1; \quad \omega_0 = \frac{1}{RC} \quad \text{et} \quad Q = \frac{1}{3}.$$

7. Identifions le dénominateur avec celui de la forme factorisée proposée :

$$1 + \frac{j}{Q} \frac{\omega}{\omega_0} - \frac{\omega^2}{\omega_0^2} = \left(1 + j \frac{\omega}{\omega_1}\right) \left(1 + j \frac{\omega}{\omega_2}\right) = 1 + j \frac{\omega_1 + \omega_2}{\omega_1 \omega_2} \omega - \frac{\omega^2}{\omega_1 \omega_2}.$$

En identifiant les coefficients des termes en  $\omega$  et en  $\omega^2$ , on obtient

$$\omega_1\omega_2 = \omega_0^2 \quad \text{et} \quad \omega_1 + \omega_2 = \frac{\omega_0}{Q}.$$

Connaissant leur somme et leur produit, on peut dire que  $\omega_1$  et  $\omega_2$  sont les racines de l'équation du second degré

$$x^2 - \frac{\omega_0}{Q}x + \omega_0^2 = 0.$$

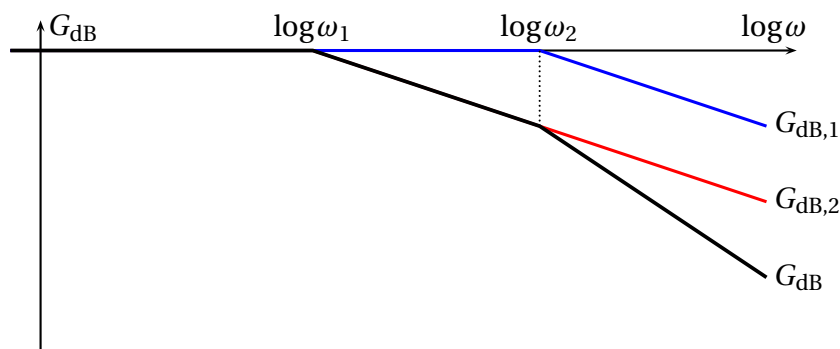
Le discriminant étant  $\Delta = \frac{\omega_0^2}{Q^2} - 4\omega_0^2 = 4\omega_0^2\left(\frac{1}{4Q^2} - 1\right)$ , l'équation admet deux racines réelles si  $\Delta > 0$ , soit  $Q < 1/2$  :

$$\omega_1 = \frac{\omega_0}{2Q}\left(1 - \sqrt{1 - 4Q^2}\right) \quad \text{et} \quad \omega_2 = \frac{\omega_0}{2Q}\left(1 + \sqrt{1 - 4Q^2}\right).$$

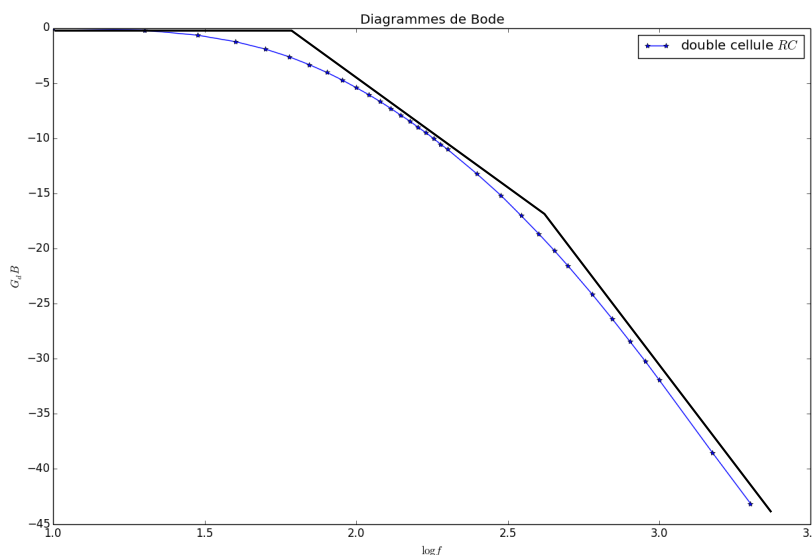
Pour tracer le diagramme asymptotique, on décompose la fonction de transfert sous la forme

$$\underline{H}(j\omega) = \underline{H}_1(j\omega)\underline{H}_2(j\omega) \quad \text{avec} \quad \underline{H}_1(j\omega) = \frac{1}{1 + j\frac{\omega}{\omega_1}} \quad \text{et} \quad \underline{H}_2(j\omega) = \frac{1}{1 + j\frac{\omega}{\omega_2}}.$$

On a donc  $G_{dB} = G_{dB,1} + G_{dB,2}$ . On en déduit le diagramme de Bode asymptotique à partir des diagrammes asymptotiques de  $G_{dB,1}$  et  $G_{dB,2}$ .



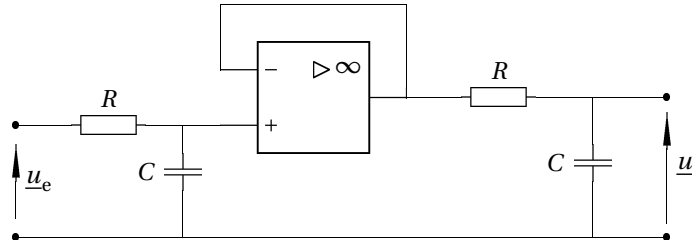
Avec  $Q = 1/3$ , on obtient  $f_1 = 0,382f_0 = 60,8 \text{ Hz}$  et  $f_2 = 2,62f_0 = 417 \text{ Hz}$ , soit  $\log f_1 = 1,78$  et  $\log f_2 = 2,62$ . Superposons le diagramme asymptotique théorique à la courbe expérimentale :



L'accord est correct.

8. La fonction de transfert  $\underline{H}_1(j\omega)$  est celle d'une cellule RC à vide, c'est-à-dire ne débitant pas de courant. Dans le cas des deux cellules en cascade, la première n'est pas à vide : elle débite un courant qui entre dans la seconde cellule. Sa fonction de transfert n'est donc pas égale à  $\underline{H}_1(j\omega)$  ; on n'a donc pas  $\underline{H}_2(j\omega) = \underline{H}_1(j\omega) \cdot \underline{H}_1(j\omega)$ , comme on a pu l'établir précédemment.

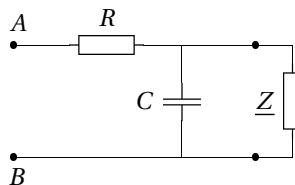
On aura  $\underline{H}_2(j\omega) = \underline{H}_1(j\omega) \cdot \underline{H}_1(j\omega)$  si la première cellule ne débite pas de courant : c'est le cas si on intervalle un montage suiveur entre les deux cellules (son impédance d'entrée est infinie) :



### 3 — Impédance itérative

#### 3.1 Étude théorique

9. Considérons le montage suivant :



Son impédance d'entrée est

$$\underline{Z}_{AB} = R + \frac{\underline{Z}}{1 + j\underline{Z}C\omega}.$$

Par définition, la valeur  $\underline{Z}_i$  est celle correspondant au cas où  $\underline{Z}_{AB} = \underline{Z}_i$ , soit

$$\underline{Z}_i = R + \frac{\underline{Z}_i}{1 + j\underline{Z}_iC\omega}.$$

L'impédance itérative vérifie donc l'équation du second degré

$$\underline{Z}_i^2 - R\underline{Z}_i + \frac{j}{C\omega}R = 0.$$

En posant  $\underline{z}_i = \frac{\underline{Z}_i}{R}$  et  $X = RC\omega$ , cette équation devient

$$\underline{z}_i^2 - \underline{z}_i + \frac{j}{X} = 0. \tag{1}$$

10. Identifions le discriminant de l'équation (1) avec la forme proposée :

$$\Delta = 1 - \frac{4j}{X} = (a + jb)^2 = a^2 - b^2 + 2abj.$$

En identifiant les parties réelle et imaginaire, on obtient

$$\begin{cases} a^2 - b^2 = 1 \\ ab = -\frac{2}{X}. \end{cases}$$

On a donc  $b = -\frac{2}{aX}$ , d'où  $a^2 - \frac{4}{a^2 X^2} = 1$ , et  $a$  vérifie l'équation

$$a^4 - a^2 - \frac{4}{X^2} = 0.$$

En posant  $A = a^2$ , on obtient l'équation du second degré

$$A^2 - A - \frac{4}{X^2} = 0. \quad (2)$$

11. Le discriminant de l'équation(2) vaut

$$\Delta' = 1 + \frac{16}{X^2}.$$

La racine positive (car  $A = a^2 > 0$ ) de cette équation vaut donc

$$A = \frac{1}{2} + \frac{1}{2} \sqrt{1 + \frac{16}{X^2}}.$$

12. On a alors  $a = \sqrt{A}$  et  $b = -\frac{2}{X\sqrt{A}}$ , soit

$$a = \frac{1}{\sqrt{2}} \sqrt{1 + \sqrt{1 + \frac{16}{X^2}}} \quad \text{et} \quad b = -\frac{2\sqrt{2}}{X \sqrt{1 + \sqrt{1 + \frac{16}{X^2}}}}.$$

13. La solution de l'équation (1) s'écrit

$$z_i = \frac{1 \pm \sqrt{\Delta'}}{2}$$

soit

$$z_i = \frac{1}{2} \pm \frac{a + jb}{2}.$$

Vu des bornes  $A$  et  $B$ , le circuit est équivalent à une impédance  $z_i$ . La puissance moyenne reçue par ce circuit est donnée par  $P_{\text{moi}} = \text{Re}(z_i) I_{\text{eff}}^2$ . Le circuit étant passif, il ne peut que dissiper de l'énergie, soit  $P_{\text{moy}} > 0$ ; on doit donc avoir  $\text{Re}(z_i) > 0$ .

La partie réelle de  $z_i$  est donnée par  $\text{Re} z_i = \frac{1+a}{2}$ . Comme  $a > 1$ , il faut retenir la solution

$$z_i = \frac{1+a}{2} + j \frac{b}{2}.$$

Comme  $Z_i = R z_i$ , on en déduit avec  $X = C\omega$  l'expression

$$Z_i = \frac{R}{2} \left[ 1 + \frac{1}{\sqrt{2}} \sqrt{1 + \sqrt{1 + \frac{16}{(RC\omega)^2}}} \right] - \frac{j}{C\omega} \frac{\sqrt{2}}{\sqrt{1 + \sqrt{1 + \frac{16}{(RC\omega)^2}}}}.$$

14. L'impédance itérative est de la forme  $Z_i = R_c + jX_c$ . L'admittance négative  $X_c < 0$  peut être modélisée par une capacité; on peut donc écrire

$$Z_i = R_c - \frac{j}{C_c \omega}.$$

On peut réaliser l'impédance itérative par une **association série** d'une résistance  $R_c$  et d'une capacité  $C_c$  données par

$$R_c = \frac{R}{2} \left[ 1 + \frac{1}{\sqrt{2}} \sqrt{1 + \sqrt{1 + \frac{16}{(RC\omega)^2}}} \right] \quad \text{et} \quad C_c = \frac{C}{\sqrt{2}} \sqrt{1 + \sqrt{1 + \frac{16}{(RC\omega)^2}}}.$$

15. Procédure python pour calculer  $R_c$  et  $C_c$  :

```
import numpy as np
import matplotlib.pyplot as plt

# R et C sont les valeurs en ohm et en farad des composants de la ligne.
# f est la fréquence du signal d'entrée
# la procédure retourne les valeurs de Ri (en kilo ohm)
# et Ci (en nano farad) avec 3 chiffres significatifs.

def Zi(R,C,f):
    omega=2*np.pi*f
    XX=(R*C*omega)**2
    A=np.sqrt(1+np.sqrt(1+16/XX))
    Ri=R/2*(1+1/np.sqrt(2)*A)
    Ci=C/np.sqrt(2)*A
    print("Ri = ",significatif(Ri/1000,3)," kOhm")
    print("Ci = ",significatif(Ci*1e9,3), "nF")
    return

def significatif(x,digit):
    if x == 0:
        return 0
    return round(x,digit-int(np.floor(np.log10(abs(x))))-1)
```

Par exemple, l'appel

```
Zi(10e3,100e-9,100)
```

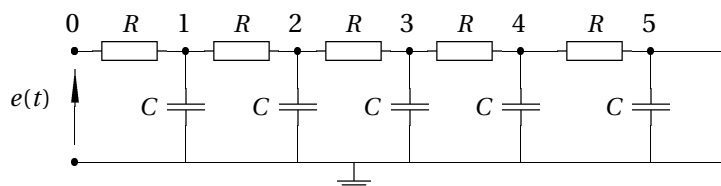
retourne

```
Ri = 14.6 kOhm
```

```
Ci = 193.0 nF
```

### 3.2 Étude expérimentale

On réalise le montage avec  $R = 10 \text{ k}\Omega$  et  $C = 100 \text{ nF}$ .



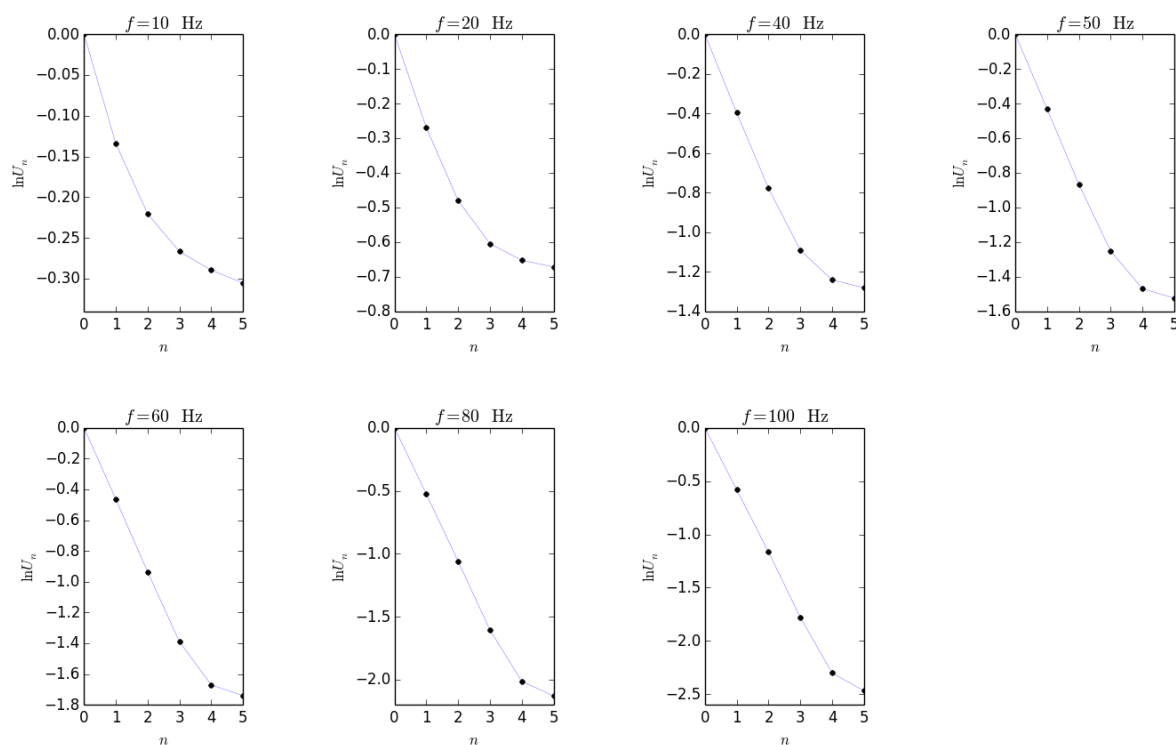
16. On relève les amplitudes (en fait les valeurs efficaces)  $U_i$  au multimètre pour  $f = 10 \text{ Hz}$ ,  $f = 20 \text{ Hz}$ ,  $f = 40 \text{ Hz}$ ,  $f = 50 \text{ Hz}$ ,  $f = 60 \text{ Hz}$ ,  $f = 80 \text{ Hz}$  et  $f = 100 \text{ Hz}$ .

17. La loi  $U_n = U_0 e^{-n/n_0}$  peut s'écrire

$$\ln U_n = -\frac{n}{n_0} + \ln U_0.$$

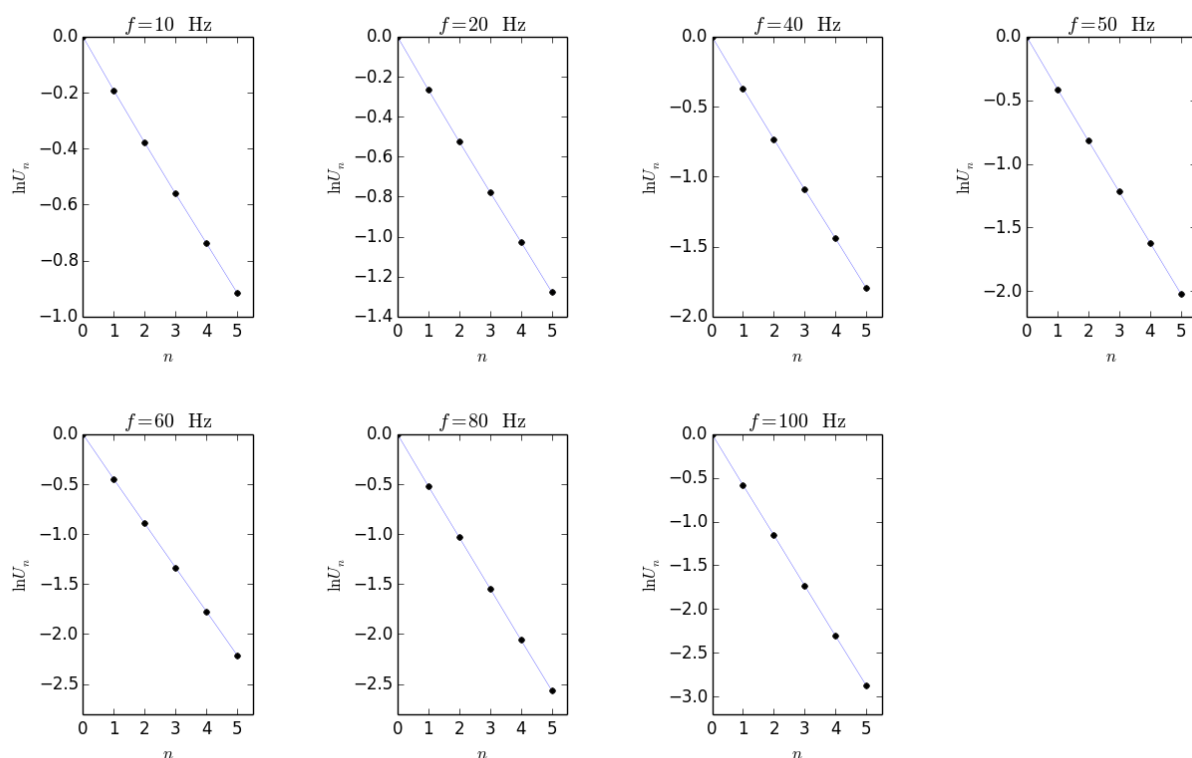
Si cette loi est vérifiée, la représentation de  $\ln U_n$  en fonction de  $\ln n$  doit conduire à une droite.

À partir des mesures, on obtient



La loi n'est pas affine, l'écart étant d'autant plus important que la fréquence est faible. On ne peut donc assimiler la suite des 5 cellules à une ligne infinie, comme on pouvait s'y attendre.

**18.** En branchant la ligne sur l'impédance itérative calculée pour chacune des fréquences utilisées, on représente  $\ln U_n$  en fonction de  $\ln n$ .

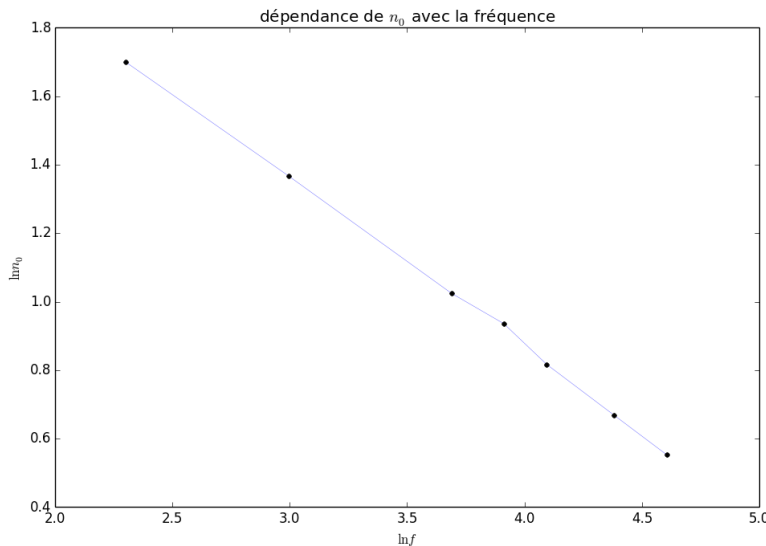


La loi  $U_n = U_0 e^{-n/n_0}$  est bien vérifiée.

Une régression linéaire permet de calculer la pente  $-\frac{1}{n_0}$  pour chaque fréquence, d'où  $n_0(f)$ .

$f$ (Hz)	10	20	40	50	60	80	100
Pente	0,182 74	0,254 86	0,359 0	0,392 4	0,441 9	0,512 8	0,575 3
$n_0$	5,47	3,92	2,79	2,55	2,26	1,95	1,74

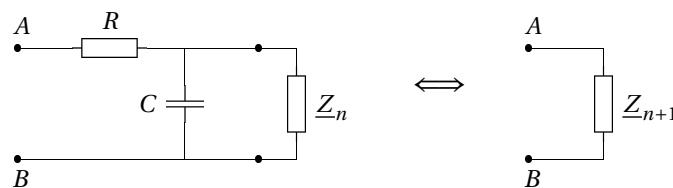
La loi  $n_0 = \frac{1}{\sqrt{\pi RC f}}$  conduit à  $\ln n_0 = -\frac{1}{2} \ln f - \frac{1}{2} \ln(\pi RC)$ . On représente donc  $\ln n_0$  en fonction de  $\ln f$  :



Une régression linéaire conduite à une pente -0,50 : c'est bien la valeur attendue!

**19.** Notons  $\underline{Z}_n$  l'impédance d'entrée d'une série de  $n$  cellules branchée sur une impédance  $\underline{Z}$  quelconque.

Si on ajoute une cellule supplémentaire en début de ligne, le montage est équivalent à



On a donc

$$\underline{Z}_{n+1} = R + \frac{\underline{Z}_n}{1 + j\underline{Z}_n C\omega}$$

Dans le cas de la limite de la ligne infinie, on a  $\lim_{n \rightarrow \infty} \underline{Z}_n = \lim_{n \rightarrow \infty} \underline{Z}_{n+1} = \underline{Z}_\infty$ , soit

$$\underline{Z}_\infty = R + \frac{\underline{Z}_\infty}{1 + j\underline{Z}_\infty C\omega}$$

L'impédance d'entrée  $\underline{Z}_\infty$  vérifie la même équation que l'impédance itérative : on a donc  $\underline{Z}_\infty = \underline{Z}_i$ .

**20.** Une cellule branchée sur l'impédance itérative  $\underline{Z}_i$  étant équivalent à  $\underline{Z}_i$ , un nombre quelconque de cellules branché sur  $\underline{Z}_i$  est équivalent à  $\underline{Z}_i$ . On retrouve le même résultat que pour une ligne infinie. On observe en effet que la loi  $U_n$  est identique à celle de ligne infinie quand les 5 cellules sont branchées sur  $\underline{Z}_i$ .